



ВНИИА
РОСАТОМ

Корректировка схемной вязкости и повышение пространственной точности контактного метода SPH при моделировании вязких и упругопластических сред

Рублев Георгий Дмитриевич, Паршиков А.Н.,
Дьячков С.А.

Цель работы

Метод гидродинамики сглаженных частиц (SPH) с решением задачи Римана на контакте частиц широко используется для моделирования вязких и упругопластических сред с разрывами. В этом методе используется кусочно-постоянная аппроксимация физических величин на контактах между частицами, что является причиной значительной схемной вязкости и приводит к сглаживанию фронта ударной волны.

Цель работы – повысить точность контактного метода SPH (CSPH).

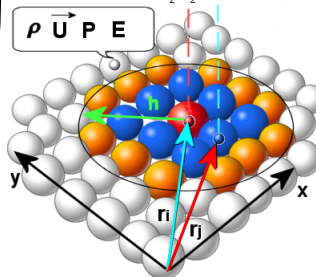
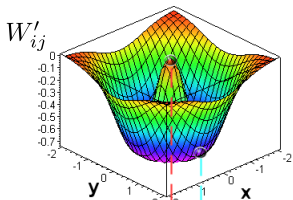
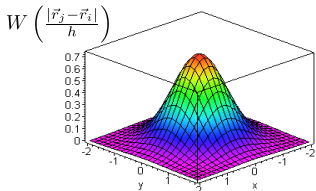
– Smoothed Particles Hydrodynamics

$$f(\vec{r}) = \int f(\vec{r}') \delta(\vec{r}' - \vec{r}) dv$$



$$f(\vec{r}_i) = \sum_j \frac{m_j}{\rho_j} f(\vec{r}_j) W\left(\frac{|\vec{r}_j - \vec{r}_i|}{h}, h\right)$$

$$\frac{\partial}{\partial x_i^\alpha} f(\vec{r}_i) = \sum_j \frac{m_j}{\rho_j} f(\vec{r}_j) \frac{\partial}{\partial x_i^\alpha} W\left(\frac{|\vec{r}_j - \vec{r}_i|}{h}, h\right)$$



$$h = \alpha(D_i + D_j)$$

1. Основные уравнения и их SPH-аппроксимация

The background is a solid blue color. On the right side, there is a decorative graphic consisting of numerous thin, white, curved lines that originate from a single point at the bottom right and fan out towards the top right, creating a sense of motion or a stylized wave.

1.1. Основные уравнения

$$\frac{1}{\rho} \frac{d\rho}{dt} = -\dot{\epsilon} = -\nabla \cdot \vec{U} \quad (1) \quad \text{Закон сохранения массы}$$

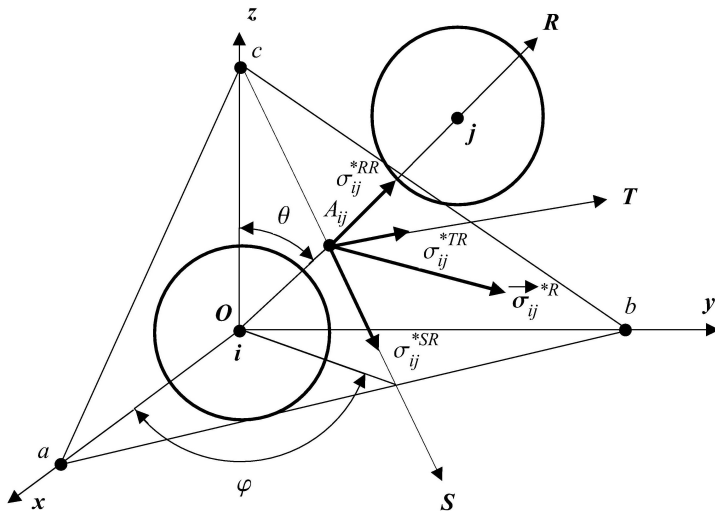
$$\rho \frac{d\vec{U}}{dt} = \nabla \cdot \hat{\sigma} \quad (2) \quad \text{Закон сохранения импульса}$$

$$\rho \frac{dE}{dt} = \nabla \cdot (\hat{\sigma} \cdot \vec{U}) \quad (3) \quad \text{Закон сохранения энергии}$$

$$\sigma^{\alpha\beta} = -pI^{\alpha\beta} + \tau^{\alpha\beta} + fS^{\alpha\beta}.$$

- Если $\tau^{\alpha\beta} = 0$ и $f = 0$ — получаем газ и невязкую сжимаемую жидкость.
- Если $f = 0$ — получаем вязкую сжимаемую жидкость.
- Если $f = 1$ — получаем сжимаемую вязкоупругую среду.
- Если $f = \min \left[\frac{Y_0^2}{\frac{3}{2} S^{\alpha\beta} S^{\alpha\beta}}, 1 \right]$ — получаем сжимаемую упругопластическую среду с вязкостью.

1.2. SPH-аппроксимация уравнений контактным методом SPH (CSPH)



1.2. SPH-аппроксимация уравнений контактным методом SPH (CSPH)

Исходные уравнения	SPH-аппроксимация
$\frac{1}{\rho} \frac{d\rho}{dt} = -\dot{\varepsilon} = -\nabla \cdot \vec{U}$	$\frac{d\varepsilon_i}{dt} = -2 \sum_j \frac{m_j}{\rho_j} [U_i^R - U_{ij}^{*R}] e^{\vec{R}} \cdot \nabla_i W_{ij}$
$\rho \frac{d\vec{U}}{dt} = \nabla \cdot \hat{\sigma}$	$\begin{aligned} \frac{d\vec{U}_i}{dt} = & -2 \sum_j \frac{m_j}{\rho_j \rho_i} \left[P_{ij}^{*lR\alpha} e^{\vec{\alpha}} - \right. \\ & \left. - (\tau + fS)_{ij}^{\gamma R*} l^{\gamma\alpha} e^{\vec{\alpha}} \right] e^{\vec{R}} \cdot \nabla_i W_{ij} \end{aligned}$
$\rho \frac{dE}{dt} = \nabla \cdot (\hat{\sigma} \cdot \vec{U})$	$\begin{aligned} \frac{dE_i}{dt} = & -2 \sum_j \frac{m_j}{\rho_j \rho_i} \left[P_{ij}^{*} U_{ij}^{*R} - \right. \\ & \left. - (\tau + fS)_{ij}^{\gamma R*} U_{ij}^{*\gamma} \right] e^{\vec{R}} \cdot \nabla_i W_{ij} \end{aligned}$

$l^{\gamma\alpha}$ – направляющие косинусы, $\gamma = R, S, T, \alpha = x, y, z$.

2.

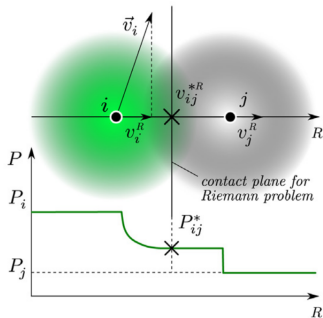
Моделирование сжимаемых вязких сред методом CSPH

2.1. Распад разрыва в сжимаемой жидкой среде. Акустическое приближение

Давление и скорость в точке контакта SPH-частиц в акустическом приближении вычисляются как

$$P_{ij}^* = \frac{P_j \rho_i C_i + P_i \rho_j C_j - \rho_i C_i \rho_j C_j (U_j^R - U_i^R)}{\rho_i C_i + \rho_j C_j}, \quad (4)$$

$$U_{ij}^{*R} = \frac{U_i^R \rho_i C_i + U_j^R \rho_j C_j - P_j + P_i}{\rho_i C_i + \rho_j C_j}. \quad (5)$$



2.2. Схема взаимодействия SPH-частиц в вязкой среде

Компоненты вектора вязких напряжений приписываются к точке контакта A_{ij} :

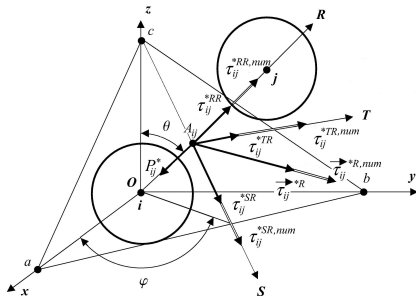
$$\tau_{ij}^{RR*} = \frac{4}{3} \eta_i \eta_j \frac{1 + \sqrt{\nu_i / \nu_j}}{\eta_i + \eta_j \sqrt{\nu_i / \nu_j}} \frac{U_j^R - U_i^R}{|\vec{r}_j^* - \vec{r}_i^*|},$$

$$\tau_{ij}^{SR*} = \eta_i \eta_j \frac{1 + \sqrt{\nu_i / \nu_j}}{\eta_i + \eta_j \sqrt{\nu_i / \nu_j}} \frac{U_j^S - U_i^S}{|\vec{r}_j^* - \vec{r}_i^*|},$$

$$\tau_{ij}^{TR*} = \eta_i \eta_j \frac{1 + \sqrt{\nu_i / \nu_j}}{\eta_i + \eta_j \sqrt{\nu_i / \nu_j}} \frac{U_j^T - U_i^T}{|\vec{r}_j^* - \vec{r}_i^*|}.$$

Компоненты скорости в точке вязкого контакта:

$$U_{ij}^{\gamma*} = \frac{\eta_i U_i^\gamma + \eta_j U_j^\gamma \sqrt{\nu_i / \nu_j}}{\eta_i + \eta_j \sqrt{\nu_i / \nu_j}}, \quad \gamma = R, S, T.$$



Компоненты напряжений при вязком распаде между частицами.

3.

Моделирование вязкоупругих сред методом SPH

3.1. SPH-аппроксимация уравнений для упругой среды

$$\sigma^{\alpha\beta} = -PI^{\alpha\beta} + \tau^{\alpha\beta} + S^{\alpha\beta},$$

$$\dot{S}^{\alpha\beta} = 2G \left(\dot{\varepsilon}^{\alpha\beta} - \frac{1}{3} \delta^{\alpha\beta} \dot{\varepsilon}^{\gamma\gamma} \right) + \underbrace{S^{\alpha\gamma} \Omega^{\beta\gamma} + \Omega^{\alpha\gamma} S^{\gamma\beta}}_{\text{поправка на вращение}}.$$

Контактные значения продольных компонент скорости и напряжения в акустическом приближении имеют вид:

$$U_{ij}^{*R} = \frac{U_i^R \rho_i C_i^l + U_j^R \rho_j C_j^l + \sigma_j^{RR} - \sigma_i^{RR}}{\rho_i C_i^l + \rho_j C_j^l}, \quad (6)$$

$$\sigma_{ij}^{RR*} = \frac{\sigma_j^{RR} \rho_i C_i^l + \sigma_i^{RR} \rho_j C_j^l + \rho_i C_i^l \rho_j C_j^l (U_j^R - U_i^R)}{\rho_i C_i^l + \rho_j C_j^l}. \quad (7)$$

3.1. SPH-аппроксимация уравнений для упругой среды

А для поперечных компонент имеем:

$$U_{ij}^{*S} = \frac{U_i^S \rho_i C_i^l + U_j^S \rho_j C_j^l + \sigma_j^{SR} - \sigma_i^{SR}}{\rho_i C_i^l + \rho_j C_j^l}, \quad (8)$$

$$\sigma_{ij}^{SR*} = \frac{\sigma_j^{SR} \rho_i C_i^l + \sigma_i^{SR} \rho_j C_j^l + \rho_i C_i^l \rho_j C_j^l (U_j^S - U_i^S)}{\rho_i C_i^l + \rho_j C_j^l}, \quad (9)$$

$$U_{ij}^{*T} = \frac{U_i^T \rho_i C_i^l + U_j^T \rho_j C_j^l + \sigma_j^{TR} - \sigma_i^{TR}}{\rho_i C_i^l + \rho_j C_j^l}, \quad (10)$$

$$\sigma_{ij}^{TR*} = \frac{\sigma_j^{TR} \rho_i C_i^l + \sigma_i^{TR} \rho_j C_j^l + \rho_i C_i^l \rho_j C_j^l (U_j^T - U_i^T)}{\rho_i C_i^l + \rho_j C_j^l}. \quad (11)$$

4.

MUSCL-SPH
(повышение точности
метода)

4. MUSCL-SPH

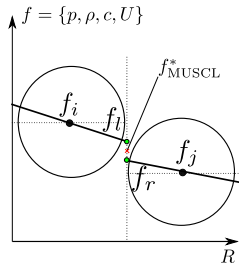
Идея метода MUSCL-SPH заключается в использовании в формулах (4)-(5) (либо (6)-(11)) вместо значений в i -й и j -й частицах их линейной интерполяции на точку межчастичного контакта слева и справа от плоскости контакта. SPH-аппроксимация градиентов физических величин имеет вид:

$$\nabla\Phi_i = \sum_j (\Phi_j - \Phi_i) \nabla_i W_{ij} \frac{m_j}{\rho_j}.$$

Значения справа и слева от контакта:

$$\Phi_l = \Phi_i + \frac{1}{2} \delta\Phi_i,$$

$$\Phi_r = \Phi_j - \frac{1}{2} \delta\Phi_j.$$



Величины $\delta\Phi_i$ и $\delta\Phi_j$ определяются как:

$$\delta\Phi_i = \text{minmod}(\Phi_j - \Phi_i, \nabla\Phi_i \cdot \vec{r}_{ji}),$$

$$\delta\Phi_j = \text{minmod}(\nabla\Phi_j \cdot \vec{r}_{ji}, \Phi_j - \Phi_i).$$

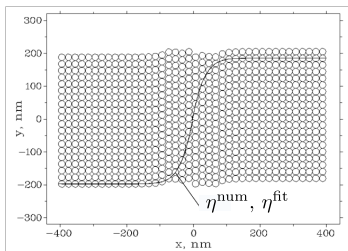
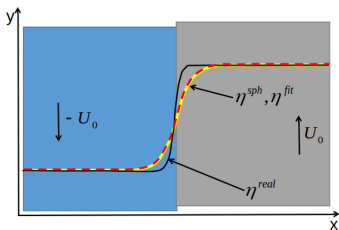
5. Схемная вязкость метода

The background is a solid blue color. On the right side, there is a decorative graphic consisting of numerous thin, white, curved lines that originate from a single point near the bottom right and fan out towards the top right, creating a sense of motion or a stylized wave.

5.1. Схемная вязкость метода

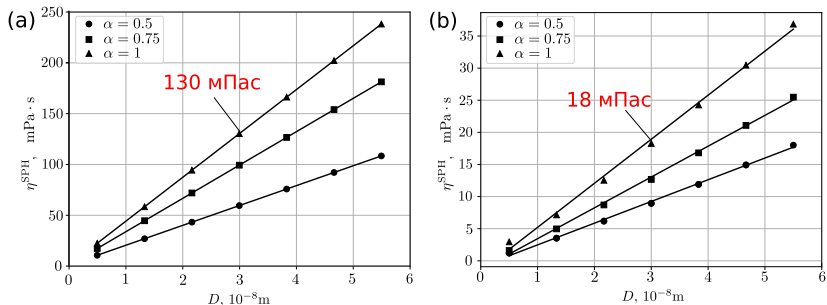
При моделировании методом SPH схемная вязкость проявляет себя идентично физической вязкости, что следует из сравнения профилей скорости, полученных при моделировании, и из аналитического решения¹, описывающего распределение скорости в вязком потоке ($\eta^{\text{num}} = \eta^{\text{fit}}$):

$$U_y(x,t) = U_y(x,0) \operatorname{erf} \left(\frac{x}{\sqrt{4t\eta/\rho}} \right)$$



¹ H. Lamb, Hydrodynamics, Cambridge Univ. Press, 1932

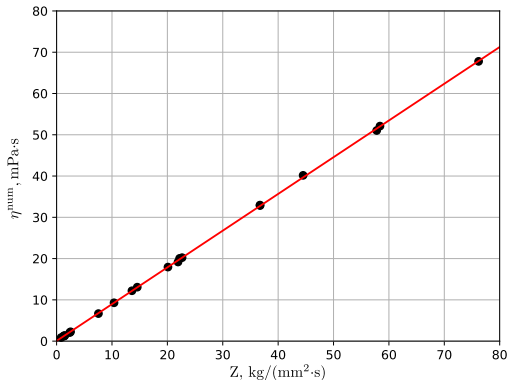
5.1. Схемная вязкость метода



Зависимость схемной вязкости жидкого свинца от размера частиц при различных значениях параметра сглаживающей длины α ($h_{ij} = \alpha(D_i + D_j)$): (a) метод CSPH, (b) MUSCL-SPH

Схемная вязкость метода MUSCL-SPH в данном тесте оказалась примерно в 6-7 раз ниже.

5.1. Схемная вязкость метода



Зависимость схемной вязкости η^{num} метода CSPH от акустической жесткости материала $Z = \rho C$.

5.2. Управление вязкостью метода

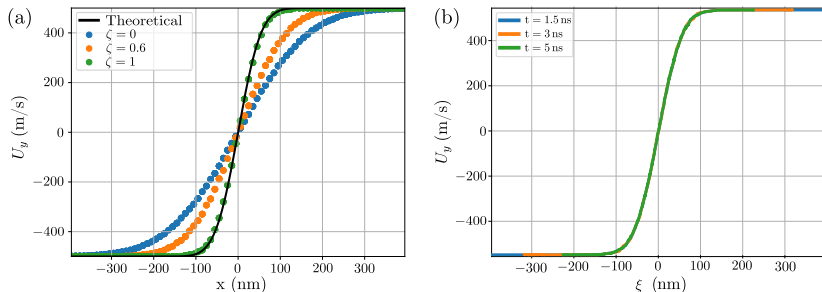
$U_{ij}^{\gamma*} = \frac{\eta_i U_i^\gamma + \eta_j U_j^\gamma \sqrt{\nu_i/\nu_j}}{\eta_i + \eta_j \sqrt{\nu_i/\nu_j}}$	$- \zeta U_{ij}^{\gamma*,\text{num}}$
$\tau_{ij}^{RR*} = \frac{4}{3} \eta_i \eta_j \frac{1 + \sqrt{\nu_i/\nu_j}}{\eta_i + \eta_j \sqrt{\nu_i/\nu_j}} \frac{U_j^R - U_i^R}{ \vec{r}_j - \vec{r}_i }$	$- \zeta \tau_{ij}^{RR*,\text{num}}$
$\tau_{ij}^{SR*} = \eta_i \eta_j \frac{1 + \sqrt{\nu_i/\nu_j}}{\eta_i + \eta_j \sqrt{\nu_i/\nu_j}} \frac{U_j^S - U_i^S}{ \vec{r}_j - \vec{r}_i }$	$- \zeta \tau_{ij}^{SR*,\text{num}}$
$\tau_{ij}^{TR*} = \eta_i \eta_j \frac{1 + \sqrt{\nu_i/\nu_j}}{\eta_i + \eta_j \sqrt{\nu_i/\nu_j}} \frac{U_j^T - U_i^T}{ \vec{r}_j - \vec{r}_i }$	$- \zeta \tau_{ij}^{TR*,\text{num}}$
Физическая вязкость	Компенсация схемной вязкости

$\zeta \in [0, 1]$ – степень корректировки.

6.

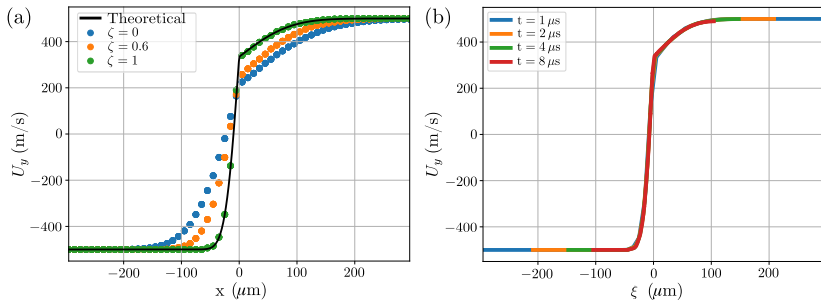
Результаты тестовых
расчётов контактным
методом SPH с
корректировкой вязкости

6.1. Сдвиговое течение для одного материала (2D течение)



(a) Профиль скорости при сдвиговом течении жидкого свинца $t = 4.5$ нс для различных $\zeta \eta^{\text{num}}$. (b) Автомодельность профиля скорости при $\zeta = 1$ (представлены моменты времени $t = 3$ нс, 4.5 нс, 5 нс. $\xi = x \sqrt{\frac{t_0}{t}}$, $t_0 = 4.5$ нс).

6.2. Сдвиговое течение для двух различных материалов (2D течение)



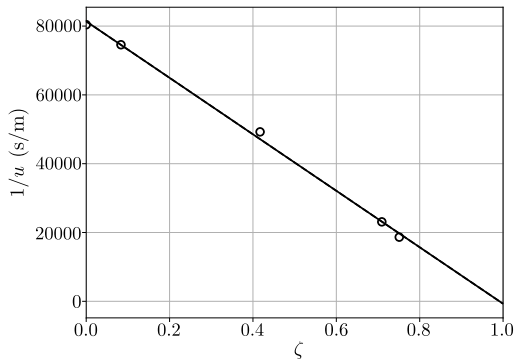
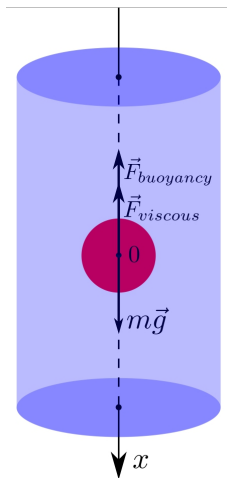
(a) Профили скорости для парафина и глицерина при $t = 2 \mu\text{с}$ при различных значениях $\zeta \eta^{\text{num}}$. (b) Автомодельность профиля скорости. Представлены моменты времени $t = 1 \mu\text{с}$, $2 \mu\text{с}$, $4 \mu\text{с}$,

$$8 \mu\text{с}. \quad \xi = x \sqrt{\frac{t_0}{t}}, \quad t_0 = 1 \mu\text{с}.$$

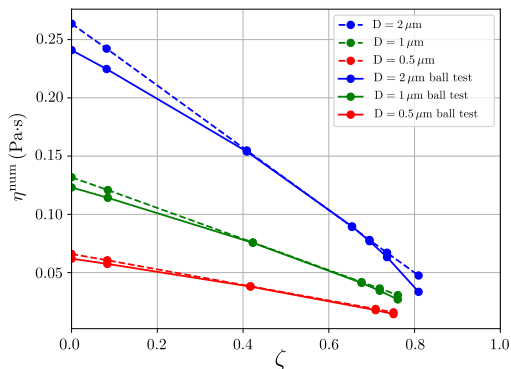
6.3. Измерение схемной вязкости методом Стокса (3D течение)

В соответствии с формулой Стокса: $\frac{1}{u} = \frac{9\zeta\eta^{\text{num}}\lambda}{2r^2g(\rho-\rho_0)}$.

λ — коэффициент, связанный с влиянием стенок.

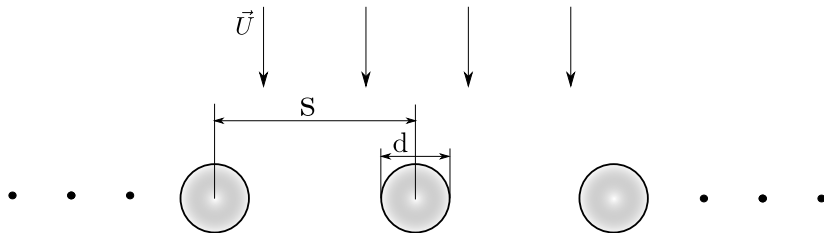


6.3. Измерение схемной вязкости методом Стокса (3D течение)

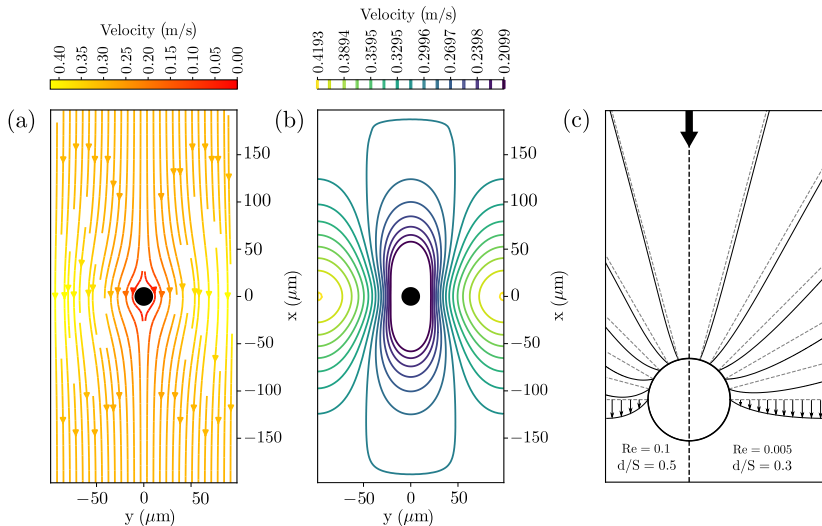


Сравнение схемной вязкости, измеренной различными методами: методом Стокса (сплошные линии) и по сдвиговому течению (пунктирные линии) при различной степени коррективов ζ .

6.4. Обтекание системы параллельных цилиндров



6.4. Обтекание системы параллельных цилиндров



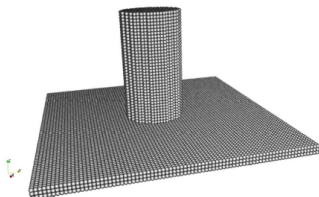
6.4. Обтекание системы параллельных цилиндров

d/s	$C_D = \frac{16\pi a_0}{Re}$	C_D^{SPH} (с корректировкой)	C_D^{SPH} (без корректировки)
Парафин, $Re = \frac{\rho U d}{\eta} = 0.005$, $d = 0.1$ мм, $U = 4.40$ мм/с			
0.5	20236	22750	50585
Глицерин, $Re = \frac{\rho U d}{\eta} = 0.005$, $d = 1$ мм, $U = 5.92$ мм/с			
0.5	20236	26890	68709
0.3	7968	10500	25885

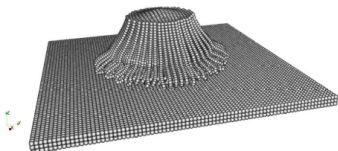
$C_D = \frac{16\pi a_0}{Re}$, где a_0 — коэффициент, зависящий от геометрии.

Коэффициент сопротивления определяется как $C_D^{SPH} = \frac{f_D}{\frac{1}{2}\rho U^2 d}$.

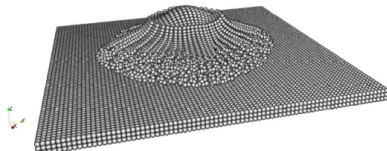
6.4. Растекание жидкого цилиндра



Начальное положение жидкого цилиндра (вода).



Растекание жидкого цилиндра (вода) с физической вязкостью, но без корректировки схемной вязкости.

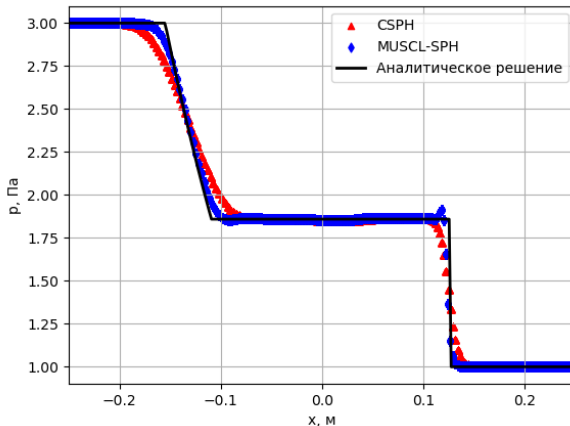


Растекание жидкого цилиндра (вода) с физической вязкостью, влияние схемной вязкости исключено.

7.

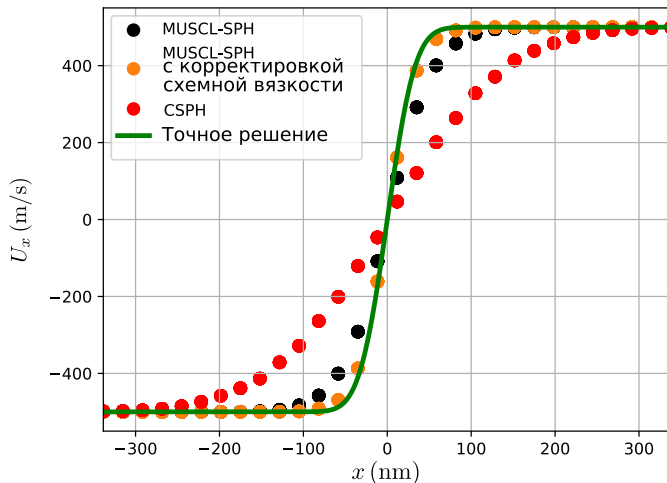
Результаты тестовых
расчётов методом
MUSCL-SPH

7.1. Распад разрыва в газе



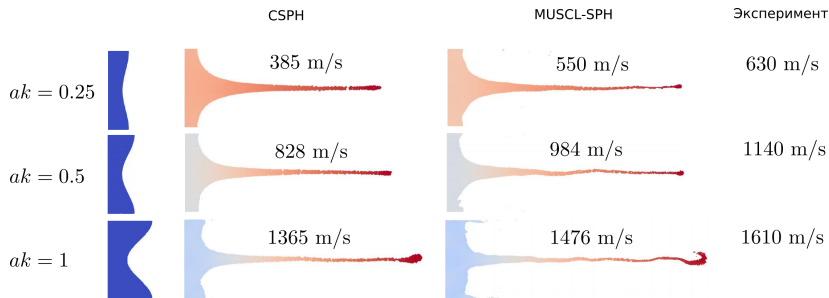
Сравнение профилей давления в задаче о распаде разрыва в идеальном газе полученных методом CSPH и методом MUSCL-SPH с аналитическим решением.

7.2. Диффузия вязкого разрыва в однородной жидкости



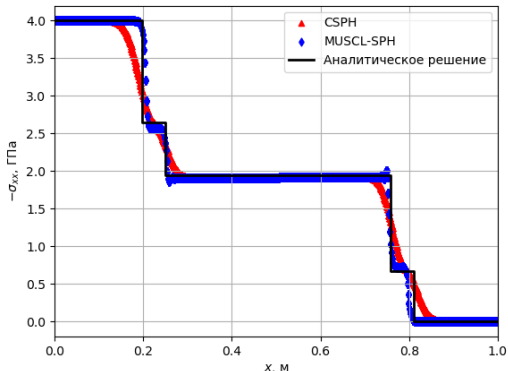
Диффузия вязкого разрыва в жидком уране при $t = 1$ нс

7.3. Моделирование кумулятивных струй



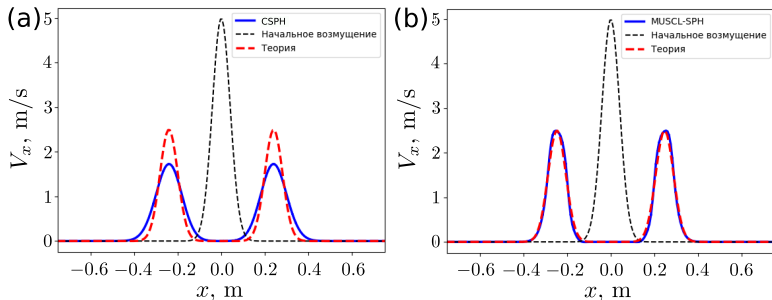
Моделирование процесса пыления гофрированной свободной поверхности (олово). Экспериментальные данные взяты из работы Buttler W.T. et al. Unstable Richtmyer–Meshkov growth of solid and liquid metals in vacuum // J. Fluid Mech. — Vol. 703. — P. 60–84. — 2012.

7.4. Распад разрыва в упругопластической среде



Сравнение профилей компоненты тензора напряжений σ_{xx} в задаче о распаде разрыва в упругопластической среде (алюминий), рассчитанных методом CSPH и методом MUSCL-SPH с аналитическим решением.

7.5. Распространение звуковой волны в упругой среде



Моделирование распространения продольной звуковой волны в алюминии: (a) методом CSPH, (b) методом MUSCL-SPH.

8.

Использование матрицы
нормализации при расчёте
тензора скоростей
деформаций

8.1. Нормализация при расчёте тензора скоростей деформаций

Рассмотрим следующую SPH-сумму:

$$\sum_j \tilde{U}_{ij}^\alpha \nabla_i W_{ij} \frac{m_j}{\rho_j},$$

где \tilde{U}_{ij}^α – значение α -компоненты скорости в точке по середине между центрами частиц i и j . Подставляя вместо \tilde{U}_{ij}^α разложение в ряд Тейлора с центром в точке i получаем:

$$\nabla U_i^\alpha = \sum_j 2(\tilde{U}_{ij}^\alpha - U_i^\alpha) \mathbb{L}_i \nabla_i W_{ij} \frac{m_j}{\rho_j},$$

8.1. Нормализация при расчёте тензора скоростей деформаций

где

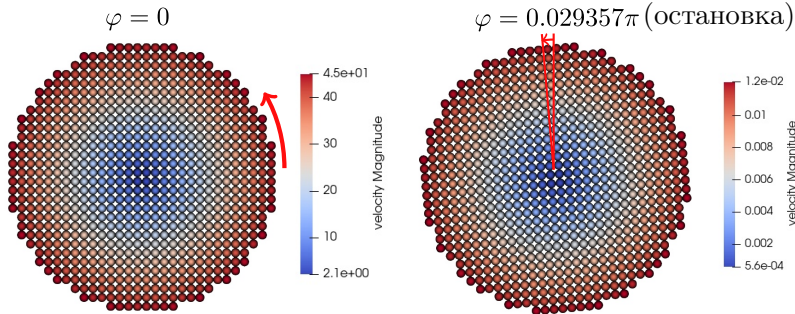
$$\mathbb{L}_i = \sum_j \frac{m_j}{\rho_j} \begin{pmatrix} (r_j^x - r_i^x) \frac{\partial W_{ij}}{\partial x} & (r_j^y - r_i^y) \frac{\partial W_{ij}}{\partial x} & (r_j^z - r_i^z) \frac{\partial W_{ij}}{\partial x} \\ (r_j^x - r_i^x) \frac{\partial W_{ij}}{\partial y} & (r_j^y - r_i^y) \frac{\partial W_{ij}}{\partial y} & (r_j^z - r_i^z) \frac{\partial W_{ij}}{\partial y} \\ (r_j^x - r_i^x) \frac{\partial W_{ij}}{\partial z} & (r_j^y - r_i^y) \frac{\partial W_{ij}}{\partial z} & (r_j^z - r_i^z) \frac{\partial W_{ij}}{\partial z} \end{pmatrix}.$$

В качестве оценки \tilde{U}_{ij}^α будем использовать распадное значение скорости $U_{ij}^{*\alpha}$:

$$\nabla U_i^\alpha = \sum_j 2(U_{ij}^{*\alpha} - U_i^\alpha) \mathbb{L}_i \nabla_i W_{ij} \frac{m_j}{\rho_j},$$

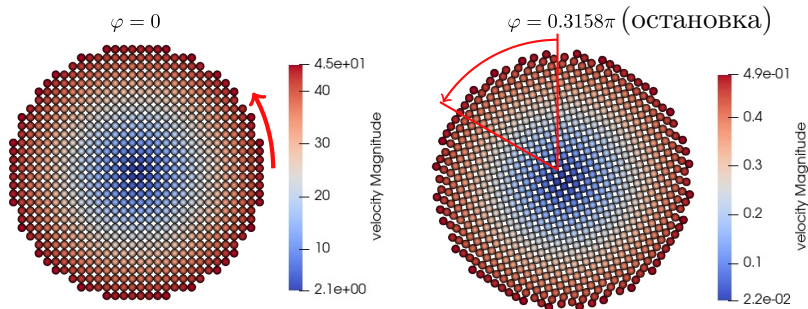
Полученные таким образом производные компонент скорости по координатам будем использовать для расчёта тензора скоростей деформаций.

8.2. Вращение упругого цилиндра (2D)



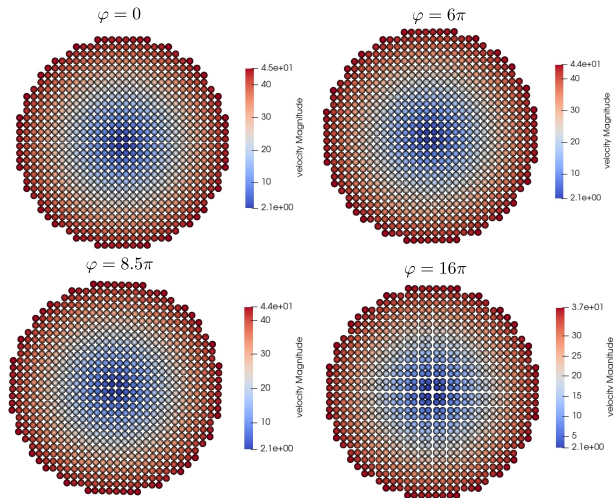
Вращение алюминиевого цилиндра радиусом 1.5 м с начальной скоростью вращения 30 рад/с. Метод CSPH.

8.2. Вращение упругого цилиндра (2D)



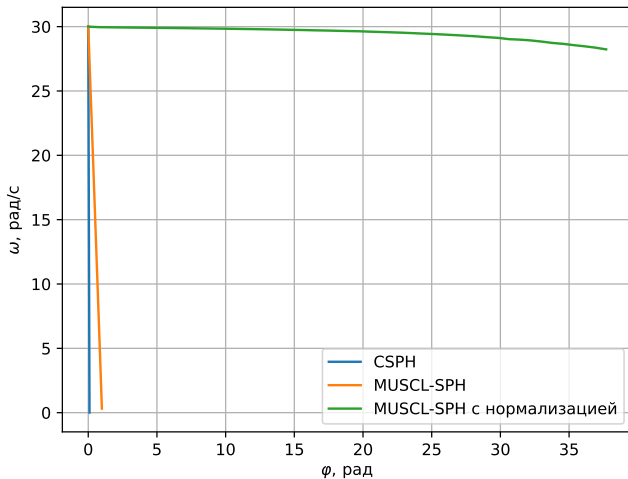
Вращение алюминиевого цилиндра радиусом 1.5 м с начальной скоростью вращения 30 рад/с. Метод MUSCL-SPH без нормализации скоростей деформации.

8.2. Вращение упругого цилиндра (2D)



Вращение алюминиевого цилиндра радиусом 1.5 м с начальной скоростью вращения 30 рад/с. Метод MUSCL-SPH с нормализацией скоростей деформаций.

8.2. Вращение упругого цилиндра (2D)



Зависимость угловой скорости от угла поворота.

Спасибо за внимание

Рублев Георгий Дмитриевич, Паршиков А.Н., Дьячков С.А.

E-mail: rublev_gd_97@vk.com

25.05.2023